

اثر پوشش‌های دریایی مختلف بر نیروی مقاومت اصطکاکی وارد بر بدنه شناور

The Effect of Different Marine Coatings
on the Frictional Drag Force of Vessel

سید مجتبی میرعبدینی^{۱*}، شهلا پازکی فرد^۱، زهرا اکبری^۱، محسن محسنی^۲، حسین شایلوزاده^۳

۱- تهران، پژوهشگاه پلیمر و پتروشیمی ایران، پژوهشکده فرایند، گروه رنگ و روکش‌های سطح، صندوق پستی ۱۴۹۶۵۱۱۱۵

۲- تهران، دانشگاه صنعتی امیرکبیر، دانشکده مهندسی پلیمر، صندوق پستی ۱۵۸۷۵۴۴۱۳

۳- تهران، دانشگاه صنعتی مالک اشتر، دانشکده علوم و فناوری دریایی، صندوق پستی ۱۵۸۷۵۱۷۷۴

دریافت: ۸۴/۵/۲۵ پذیرش: ۸۴/۱۲/۲

چکیده

در این پژوهش، اثر سه نوع پوشش مختلف شامل کوپلیمرهای آکریلی خود صیقل شونده، پوشش الاستومر سیلیکونی و پوشش‌های اپوکسی لیفی شکل که در صنایع رنگ دریایی کاربرد دارند بر مقاومت اصطکاکی وارد بر بدنه شناور بررسی شد. با اندازه‌گیری گشتاور مورد نیاز برای چرخش استوانه بدن پوشش و با پوشش‌های مختلف در سرعتهای معین، تغییر در زبری (تابع زبری) که عامل اصلی ایجاد مقاومت اصطکاکی است، ارزیابی شد. با اندازه‌گیری زاویه تماس به روش ایستا، تغییر در انرژی سطحی پوشش‌های مختلف و همچنین، مقدار زبری و شکل شناسی سطح پوشش‌های مختلف با استفاده از میکروسکوپ الکترون پویشی بررسی شد. نتایج نشان می‌دهد که پوشش الاستومر سیلیکونی به دلیل برخوداری از صافی سطح بهتر و نیز انرژی کمتر، بهترین اثر را در کاهش مقاومت اصطکاکی، در مقایسه با پوشش‌های متداول خود صیقل شونده آکریلی داراست. این نوع پوشش در سرعتهای مختلف، بین ۱۰ تا ۲۱ درصد موجب کاهش مقاومت اصطکاکی می‌شود. اثر پوشش بر نیروی مقاومت اصطکاکی با افزایش سرعت شناور به دلیل کاهش سهم مقاومت اصطکاکی در مقاومت کل کاهش می‌یابد. همچنین، نتایج آزمون تعیین انرژی سطحی نشان می‌دهد که پوشش الاستومر سیلیکونی کمترین انرژی سطح را در مقایسه با سایر پوششها دارد. بنابراین، می‌توان پیش‌بینی کرد که در محیط دریا حداقل مقدار خزه‌ها و موجودات دریایی به سطح پوشش چسبند.

واژه‌های کلیدی

نیروی مقاومت، پوشش ذره رهاساز،
پوشش خود صیقل شونده،
الاستومر سیلیکونی، ترشوندگی

مقدمه

سایر عوامل پیش‌بینی نشده ذیگر قرار می‌گیرد. هر بخش از سطح شناور در معرض نوعی خوابیدگی خودگذگی و ایجاد خواص ویژه انجام می‌شود. سطح شناور در محیط دریا در معرض آب نمک، نور خورشید، سایش، باد و باران، بخش‌های گرمایی، موجودات زنده دریایی و

مممو لاً پوشش دهنی بخش‌های مختلف شناور دریایی با دو هدف اصلی حفاظت در برابر خورگشیدگی و ایجاد خواص ویژه انجام می‌شود. سطح شناور در محیط دریا در معرض آب نمک، نور خورشید، سایش، باد و باران، شوکهای گرمایی، موجودات زنده دریایی و

Key Words

drag force, foul release coating,
self-polishing coating,
silicon elastomer, wettability

$$\frac{\Delta u}{u_\tau} = f\left(\frac{hu_\tau}{v}\right) \quad (1)$$

در این معادله h مقیاس زبری، v گرانروی و u_τ سرعت اصطکاکی است که با معادله (۲) تعریف می‌شود:

$$u_\tau = \sqrt{\frac{\tau_w}{\rho}} \quad (2)$$

τ_w تنش برشی در دیواره است. کمیت $\Delta u/u_\tau$ عبارتست از تابع زبری و به شکل مقدار جایه‌جایی نسبت به خط مربوط به سطح بدون پوشش یا صاف در امتداد محور u/u_τ نمودار لگاریتمی تعریف می‌شود (شکل ۱). بازنویسی معادله (۱) معادله (۳) بدست می‌آید:

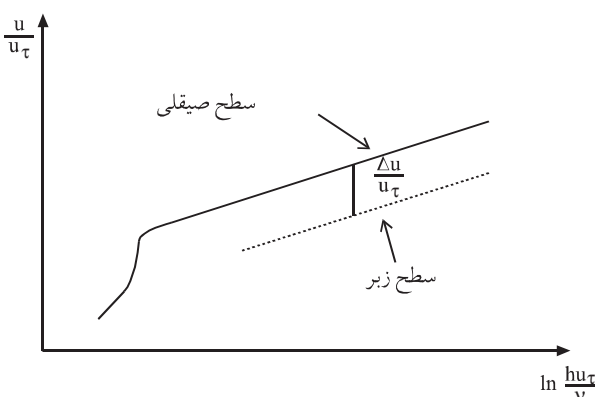
$$\frac{\Delta u}{u_\tau} = \left(\frac{u_1}{u_\tau}\right)_s - \left(\frac{u_1}{u_\tau}\right)_r \Rightarrow \left(\frac{u_1}{u_\tau}\right)_s - \left(\frac{u_1}{u_\tau}\right)_r = f\left(\frac{hu_\tau}{v}\right) \quad (3)$$

s اختصار مربوط به سطح صیقلی (smooth)، سطح بدون پوشش (smooth) و r اختصار مربوط به سطح زبر (rough)، سطح با پوشش (rough) است. تابع زبری طبق معادله (۴) به ضرایب اصطکاک سطحی موضعی برای سطوح صاف و زبر وابسته است:

$$\frac{\Delta u}{u_\tau} = \left(\sqrt{\frac{2}{C_f}}\right)_s - \left(\sqrt{\frac{2}{C_f}}\right)_r, \quad \frac{u_1}{u_\tau} = \sqrt{\frac{2}{C_f}} \quad (4)$$

سرعت جریان آزاد (m/s) است و می‌توان به کمک معادله (۵) آن را از سرعت زاویه‌ای (rpm) استوانه محاسبه کرد [۱۰]:

$$u_1 = \frac{2\pi r N}{6000} \quad (5)$$



شکل ۱ تعریف انتقال رو به پایین توزیع سرعت [۱۰].

بدنه آن است. در این بخش، نشت و رشد موجودات زنده روی بدن که با عنوان آلدگی زیستی (bio-fouling) یا خزه بستن شناخته شده، همواره به عنوان مشکلی اساسی مطرح بوده است. رسوب ترکیبات دریایی روی بدن باعث کاهش قابلیت مانور، کاهش سرعت، افزایش مصرف سوخت و تغییر کارایی عمومی شناور می‌شود. این پدیده همچنین باعث افزایش نیروی مقاومت (drag force) و انتشار صوتی کشتهای و زیردریاییها و در نتیجه افزایش هزینه‌ها نیز می‌شود [۱]. مقدار دقیق این هزینه‌ها بستگی به اندازه و نوع شناور و محیط دریا دارد.

پوششهای اعمال شده در بخش معموق شناور، بر اساس ویژگیهای سطحی آن، اثرهای متفاوتی بر اصطکاک شناور با آب و در نتیجه بر مقاومت اصطکاکی شناور دارند. مقاومت اصطکاکی درصدی از مقاومت کل وارد بر شناور را تشکیل می‌دهد. سهم مقاومت اصطکاکی در مقاومت کل از عوامل مختلفی مانند اندازه و سرعت حرکت شناور اثر می‌پذیرد. مثلاً در کشتهای باربر و تانکرهای مقاومت اصطکاکی ۸۰-۹۰ درصد مقاومت کل و در شناورهای تندر و حداکثر ۳۰ درصد مقاومت کل را تشکیل می‌دهد [۲-۸].

بیش از صد و سی سال از آزمایش Froude مبنی بر پژوهش روی اثر زبری بر مقاومت سیال با استفاده از یک کشی تانکهای مخصوص (towing tank experiment) می‌گذرد [۹]. از آن زمان تاکنون آزمایشهای زیادی برای تعیین مقاومت هیدرودینامیکی سطوح انجام شده است. بهترین روش برای بررسی اثر زبری بدن بر کارایی هیدرودینامیکی کلی شناور، انجام آزمونها در مقیاس بزرگ با ایجاد شرایط سطحی مختلف در بدن است. بدین معنا که با مقایسه کارایی سطوح صاف و زبر می‌توان به تغییر کارایی ناشی از زبری پی برد. در این راستا طی سالهای اخیر پیشرفت‌های قابل ملاحظه‌ای حاصل شده است. در نتیجه، روش‌های متعددی مانند اندازه‌گیری جریان روی سطوح صاف، درون لوله‌های زبر، در تونلهای باد و آب و اندازه‌گیری گشتاور در آزمونهای استوانه یا دیسک چرخان برای پژوهش روی مقاومت اصطکاکی عرضه شده است [۱۰-۱۳].

برای هر نوع سطحی اعم از صاف (بدون پوشش) یا زبر (با پوشش)، آزمون استوانه‌های هم محور در دو مرحله انجام می‌شود. ابتدا گشتاور اعمال شده بر استوانه بلند و سپس گشتاور اعمال شده بر استوانه کوتاه اندازه‌گیری می‌شود. با فرض یکسان بودن آثار انتهایی هر دو استوانه، در سرعتی خاص اختلاف در گشتاور (ΔT) برای این دو استوانه که مقاومت ناشی از سطح حاصل از تفاضل دو سطح استوانه بلند و کوتاه را نشان می‌دهد، اندازه‌گیری می‌شود. مشخص شده است که افزایش اصطکاک سطحی موضعی ناشی از زبری فقط به عدد رینولدز زبری یعنی hu_τ/v بستگی دارد و طبق معادله (۱) به یکدیگر مربوطند [۱۴]:

$$\left(\frac{u_1}{u}\right)_S - \left(\frac{u_1}{u}\right)_F = f \left(\frac{hu}{v}\right) \quad (11)$$

با ثبت تعداد دور و گشتاور اعمال شده بر استوانه ها و استفاده از معادلات ذکر شده می‌توان اصطکاک موضعی بر سطوح با و بدون پوشش را در یک آزمون معین اندازه گیری کرده و با رسم داده های حاصل، تابع زبری را بدست آورد. در این پژوهش، با هدف کاهش مقاومت اصطکاکی در بدن شناور، نمونه های مختلف پوشش‌های دریایی بررسی شد. برای این منظور از یک دستگاه چرخنده (rotor) (با قابلیت اندازه گیری گشتاور در سرعتهای مختلف استوانه های چرخان استفاده شده است.

در این معادله r شعاع استوانه (cm) و N تعداد دور در دقیقه است. سرعت اصطکاک (u_τ) را می‌توان از اختلاف گشتاور (ΔT) بدست آورد. اگر F نیروی اصطکاک اعمال شده بر تفاضل سطح دو استوانه بلند و کوتاه و A مساحت سطح استوانه چرخان باشد:

$$\Delta T = F \times r \quad (6)$$

$$\tau_w = \frac{F}{A} \quad (7)$$

از ترکیب دو معادله (6) و (7) معادله (8) بدست می‌آید:

$$\tau_w = \frac{\Delta T}{rA} \Rightarrow \tau_w = \frac{\Delta T}{2\pi r^2 \Delta L} \quad (8)$$

ΔL اختلاف ارتفاع بین دو استوانه بلند و کوتاه است، چون $\tau_w = u_\tau \rho$ ، بنابر این:

$$u_\tau = \sqrt{\frac{\Delta T}{2\pi \rho r^2 \Delta L}} \quad (9)$$

در این معادله ρ چگالی سیال (g/cm^3) است. معادله (8) برای هر دو سطح با پوشش و بدون آن کاربردی است. با محاسبه u_τ از معادله (9) و u_τ از معادله (5) می‌توان ضریب اصطکاک سطحی موضعی را از معادله (10) محاسبه کرد:

$$C_f = \frac{900 \times \Delta T}{\rho \pi^3 r^4 N^2 L} \quad (10)$$

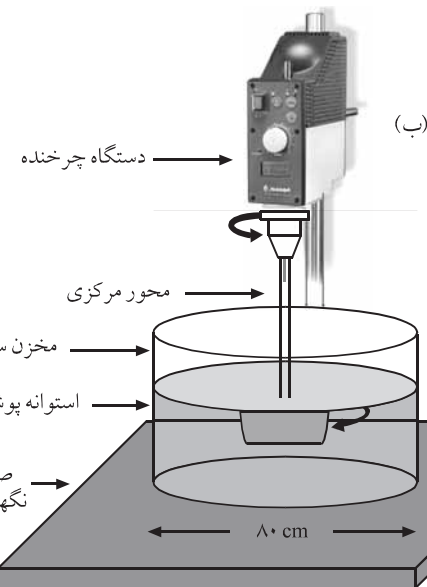
با جمع بندی معادلات می‌توان نوشت:

جدول ۱ مشخصات پوشش‌های استفاده شده.

نمونه	ساختار شیمیایی	کد تجاری	وزن مخصوص (g/cm³)	خصوصیات فیزیکی	شرکت تولید کننده
۱	TBT	۲۸۲-۶۶	۱/۶۷	جامد حجمی ۴۵ درصد	پارس پامچال
۲	TBT	SP-SEA ۷۴۰۳۰	۱/۶۰	جامد حجمی ۵۵ درصد	همپل
۳	TBT	۰۷۲۸-۰-۳۰۲	۱/۵۶	جامد حجمی ۵۰ درصد	رنگ آفرین
۴	الیاف آکریلی و پوشش اپوکسی	Seal Coat	۱/۵۵	۲۵ درصد الیاف	صنایع شیمیایی بوشهر
۵	الاستومر سیلیکونی دی متیل سیلوکسان	RTV ۴۵۱۱ (T ۲۱)، سخت کننده	۱/۲۲	گرانروی در ۲۳°C: ۲۵۰۰۰ cP	واکر



(الف)



نمایی از سامانه ارزیابی مقاومت اصطکاکی

شکل ۲ نمای کلی: (الف) نمونه استوانه‌های طراحی شده و (ب) دستگاه چرخنده مورد استفاده.

روشها

تعیین تابع ذیر

در این پژوهش، برای اندازه‌گیری ضرب اصطکاکی پوششها مختلف، از روش استوانه چرخان استفاده شد. در شکل ۲ نمای کلی استوانه‌های طراحی شده و دستگاه اندازه‌گیری گشتاور نشان داده شده است. این دستگاه شامل مخزن مکانیکی، مخزن آب به قطر 80 cm (حاوی آب معمولی در دمای محیط)، گیری، پایه فلزی و چهار استوانه با قطرهای 64 و 128 mm و ارتفاعهای 40 و 80 mm است.

برای حذف مشکلات ناشی از آثار انتهایی ابتدا گشتاور اعمال شده بر استوانه بلند (80 mm) و سپس گشتاور اعمال شده بر استوانه کوتاه (40 mm) اندازه‌گیری شد. با فرض یکسان بودن آثار انتهایی در هر دو استوانه، اختلاف در گشتاور (ΔT)، در سرعتی خاص برای دو اندازه‌گیری، مقدار گشتاور مربوط به اختلاف سطح استوانه بلند و کوتاه را نشان می‌دهد. نمونه پوششها مختلف روی سطوح جانبی دو

بورسی شکل‌شناسی سطح با استفاده از SEM

به منظور بررسی شکل‌شناسی پوششها مختلف، از میکروسکوپ الکترون پویشی استفاده شد. نمونه پوششها مختلف روی لامل

استوانه با استفاده از افساندن معمولی (برای نمونه‌های خود صیقل‌شونده) و قلم مو (برای نمونه‌های سیلیکونی) اعمال شد. پس از خشک شدن پوششها در دما و رطوبت محیط، این آزمون از چرخش در دورهای کم یعنی 100 rpm آغاز و تا دور 2000 rpm انجام شد. برای اندازه‌گیری گشتاور در ابتدا دور مورد نظر را روی صفحه نمایشگر انتخاب کرده و با روشن کردن دستگاه، پس از مدرج کردن آن، آزمون اندازه‌گیری گشتاور در دورهای مختلف حداقل با سه مرتبه تکرار صحیح برای نمونه‌های مختلف انجام شد. برای کاهش خطای ثبت عدد گشتاور در یک دور مشخص، میانگین اعداد گشتاور در بازه زمانی حدود 30 s محاسبه شده است.

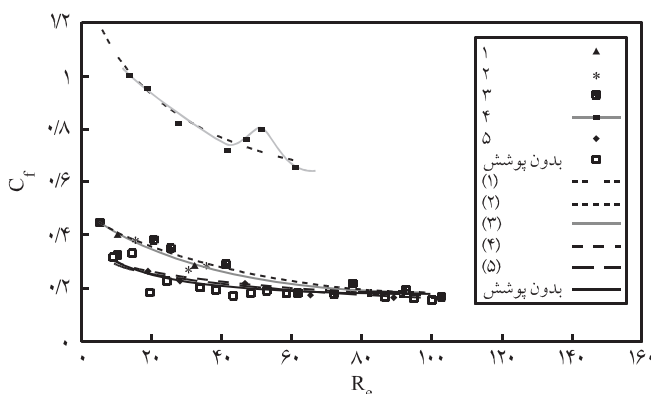
تعیین انرژی سطحی پوششها مختلف

آزمون تعیین انرژی سطحی به روش اندازه‌گیری زاویه تماس مایعات مختلف با انرژیهای سطحی مختلف با اعمال پوششها روی سطوح صاف آلومینیمی انجام شد. مراحل آماده‌سازی سطح صفحات فلزی

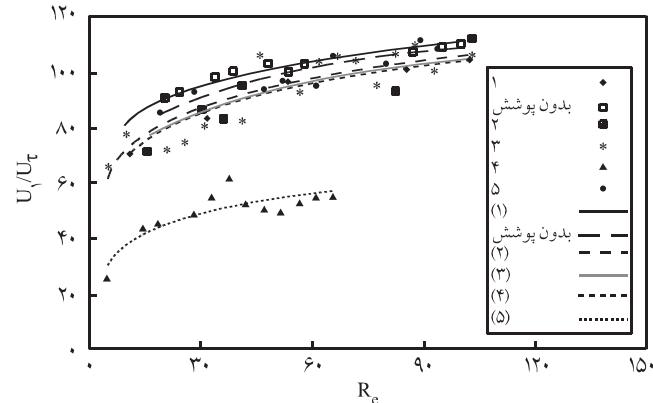
قبل از اعمال پوششها به شرح زیر بود:

در مرحله اول سطح فلز با استفاده از مواد شوینده چربی گیری، آبکشی و پس از خشک شدن، به مدت 1 min در استون غوطه‌ور شد. سپس، فیلمی از پوششها مختلف با ضخامت $1\text{ }\mu\text{m}$ با استفاده از فیلم کش، روی زیرایند آلومینیمی اعمال شد. نمونه‌ها به مدت 24 h در دمای محیط در زیر هود نگهداری شدند. پس از خشک شدن پوشش و تشکیل فیلم جامد، انرژی سطحی یا قابلیت ترشوندگی پوششها مختلف با اندازه‌گیری زاویه تماس ایستای مایعات مختلف روی سطح مورد آزمون با دستگاه Kruss معین شد. در این روش از مایعات آب، فرمامید، متان دی‌یدید، بنزیل الکل و گلیسرین استفاده شد.

نمونه مورد آزمایش روی محل نگهدارنده قرار داده شده، سپس مایع مورد آزمایش با استفاده از سرنگ به شکل قطره‌ای با حجم معین (حدود 0.05 mL) روی سطح نمونه قرار گرفت. زاویه بین خط مبنای هر قطره و خط مماس از روی تصویر بزرگ شده آن در صفحه نمایشگر معین می‌شود. از آنجا که زاویه تماس در اثر تبخر مایع با زمان کاهش می‌یابد، برای به حداقل رساندن خطای، تمام اندازه‌گیریها باید بعد از گذشت زمانی ثابت (90 s) انجام شود. تعداد تکرار برای هر نمونه پنج مرتبه در نظر گرفته شد.



شکل ۴ ضریب مقاومت اصطکاکی پوشش‌های مختلف در مقابل عدد رینولدز.



شکل ۳ انتقال رو به پایین توزیع سرعت و تعیین تابع زبری پوشش‌های مختلف.

پوشش الاستومر سیلیکونی انجام شد. برای به حداقل رساندن خطاهای احتمالی آزمون، تابع زبری برای سطحی با زبری مشخص با مقایسه اندازه گیریهای مناسب برای سطحی صاف (بدون پوشش) در شرایط مشابه بدست می‌آید. نمودارهای انتقال رو به پایین توزیع سرعت و ضریب اصطکاک در مقابل عدد رینولدز ($R_e = \frac{rU_1}{V}$) برای پوشش‌های مختلف مورد آزمون در شکلهای ۳ و ۴ نشان داده شده است. همان‌طور که در شکل ۳ مشاهده می‌شود هر قدر انتقال رو به پایین استوانه‌های پوشش‌دار نسبت به استوانه بدون پوشش بیشتر باشد، زبری نمونه پوششی به طور مقایسه‌ای بیشتر بوده، در نتیجه اثر بیشتری در افزایش نیروی مقاومت اصطکاکی خواهد داشت. با مقایسه رفتار پوشش‌های مختلف در این آزمایش مشاهده می‌شود که رفتار پوشش الیافی نسبت به نمونه بدون پوشش اختلاف بیشتری دارد، در نتیجه نیروی مقاومت اصطکاکی بیشتری نسبت به سایر پوششها نشان می‌دهد. همچنین، نمونه پوشش الاستومر سیلیکونی نسبت به استوانه بدون پوشش فاصله کمتری دارد، در نتیجه نیروی مقاومت کمتری نسبت به سایر پوششها نشان می‌دهد.

در شکل ۴، با انتخاب چند نقطه از محور افقی (محور اعداد رینولدز) می‌توان ضریب مقاومت اصطکاکی مربوط را در پوشش‌های مورد آزمون از محور عمودی مربوط بدست آورد. در شکل ۵ و جدول ۲ ضریب مقاومت اصطکاکی مربوط به چهار عدد رینولدز متفاوت برای پوشش‌های مختلف آورده شده است. در این خصوص پوشش الاستومر سیلیکونی به عنوان مرجع انتخاب شده و درصد کاهش مقاومت نسبت به پوشش‌های سیلیکونی مقایسه و محاسبه شده است.

همان‌طور که از داده‌های جدول ۲ مشاهده می‌شود با جایگزینی پوشش‌های سیلیکونی به جای پوشش‌های خود صیقل شونده، در

شیشه‌ای اعمال شد. پس از پوشش دهی نمونه‌ها با لایه نازکی از طلا، به وسیله SEM با بزرگنمایی ۵۰۰ و ۱۰۰۰ و ولتاژ ۱۵ kV از سطح آنها تصویربرداری شد.

نتایج و بحث

اندازه‌گیری مقاومت زبری سطوح رنگ‌آمیزی شده به وسیله دستگاه چرخنده

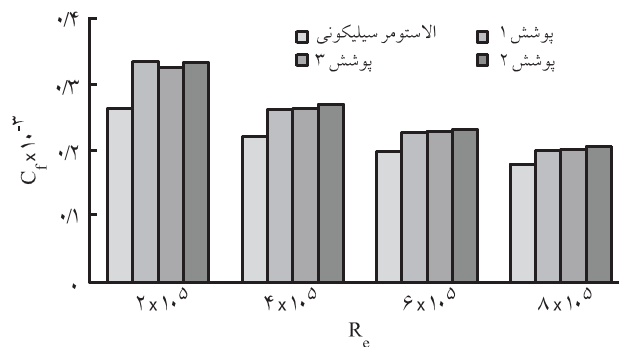
مناسب ترین روش بررسی اثر زبری سطح بر کارایی هیدرودینامیکی کلی کشتی و بررسی نیروی مقاوم آن، انجام آزمونها در مقیاس بزرگ با شرایط محیطی مختلف (با پوشش و بدون آن) بر بدنه است. اما، اصلی ترین و مهمترین مشکل در انجام این نوع آزمونها، هزینه زیاد و زمان بر بودن آنهاست. از میان روش‌های آزمایشگاهی مختلفی که برای تعیین نیروی مقاومت اصطکاکی ارائه شده است، روش استوانه چرخان، بهترین نتایج را با کمترین مقدار خطا نشان داده است. مزیت این دستگاه هزینه کم، کارایی و نگهداری آسان آن است. افزون بر این، هیچ کدام از مشکلات مربوط به پیشرفت لایه مرزی در امتداد خط مورد آزمایش که در صفحه‌های اصطکاکی اتفاق می‌افتد، در بکارگیری این روش وجود ندارد. از جمله معایب این روش مشکل آثار انتهایی در بالا و پایین استوانه است، یعنی جایی که انتقال جریان از استوانه به دیسک باعث ایجاد اغتشاش می‌شود. بنابراین، با استفاده از دو استوانه با شعاع یکسان، ولی طول متفاوت می‌توان آثار انتهایی را به حداقل رساند. آزمایش‌های استوانه چرخان روی سه نوع پوشش ضدخزه خودصیقل شونده با و بدون ماده زیست کش قلع تری بوتیل (TBT)، پوشش لیفی شکل و

حرکت شناور اثر می‌کنند، بسیار زیاد می‌شود. چنانچه در نتایج حاصل از اندازه‌گیری مقاومت مشاهده شد، با افزایش سرعت شناور، اثر نوع پوشش در مقاومت اصطکاکی کمتر می‌شود. به عبارت دیگر سهم مقاومت اصطکاکی در مقاومت کل کمتر می‌شود.

بررسی انرژی سطحی پوشش‌های مختلف

انرژی سطحی پوشش‌های مختلف ضدخze خود صیقل شونده حاوی قلع (محصول پارس پامچال، همپل و رنگ آفرین) و پوشش‌های سیلیکونی تهیه شده در آزمایشگاه، با تعیین زوایای تماس مایعات مختلف روی سطح نمونه‌های مورد آزمایش اندازه‌گیری شد. مایعات مورد استفاده دارای اجزای قطبی و پراکنده بوده، همچنین محدوده وسیعی از انرژی سطحی را شامل می‌شوند. برای اندازه‌گیری زاویه تماس از مایعات آب و متان دی‌یدید استفاده شد، زیرا آب بیشترین جزء قطبی و متان دی‌یدید بیشترین جزء پراکنده از انرژی سطحی را دارند. برای افزایش دقت در محاسبه انرژی سطح دامنه مقادیر انرژی سطحی گستردگر در نظر گرفته شد. به همین علت از بنزیل الكل، فرمامید و گلیسیرین هم برای اندازه‌گیری زاویه تماس استفاده شد. در جدول ۳ مقادیر کشش سطحی مایعات مورد استفاده در اندازه‌گیری زاویه تماس آورده شده است.

در این پژوهش، برای بررسی قابلیت ترشوندگی نمونه پوشش‌های مختلف از روش‌های زیسمن (Zisman) و آونز (Owens) استفاده شد. در روش زیسمن که متدالترین روش اندازه‌گیری انرژی سطحی است، پارامتر تجربی انرژی سطحی بحرانی (ζ_c) بدست می‌آید که می‌توان از آن به عنوان معیاری برای بررسی قابلیت ترشوندگی سطح استفاده کرد. ζ_c از لحاظ نظری مربوط به جامدی با زاویه تماس صفر است که ترشوندگی آن کامل باشد. هر قدر دامنه انرژی سطحی مایعات مورد استفاده وسیع تر و تعداد مایعات مورد آزمون بیشتر باشد، دقت آزمون بیشتر خواهد بود. در جدول ۴ مقادیر انرژی سطحی بحرانی تعیین شده



شکل ۵ تغییر ضریب مقاومت اصطکاکی در برابر عدد رینولدز برای پوشش‌های مختلف.

سرعتهای کم شناور (تقریباً $6/5 \text{ knot}$) حداقل ۲۲ درصد و در سرعتهای زیاد (تقریباً 25 knot) حداقل ۱۲ درصد ضریب مقاومت اصطکاکی کاهش می‌یابد. در سرعتهای بیشتر مقدار کاهش مقاومت اصطکاکی کمتر می‌شود، زیرا در سرعتهای نسبتاً زیاد سهم مقاومت اصطکاکی در مقاومت کل کمتر می‌شود.

در هنگام حرکت شناور در محیط دریا، مقاومتها و نیروهای مختلفی در جهت خلاف حرکت شناور اثر می‌گذارند. از میان این مقاومتها، مقاومت اصطکاکی و مقاومت موج ساز بخش عمده مقاومت کل شناور افزایش می‌یابد. هر قدر سرعت شناور افزایش یابد، مقاومت کل شناور افزایش می‌یابد. اما در این میان، به دلیل اینکه مقدار مقاومت موج ساز نسبت به مقدار افزایش مقاومت اصطکاکی بیشتر است، اثر مقاومت اصطکاکی به مقاومت کل کمتر می‌شود. با افزایش سرعت حرکت شناور تا حدود 30 knot ، افزایش نیروی مقاومت ناشی از مقاومت موج ساز بسیار سریع است، این مسأله به دلیل تغییر حالت سیال (آب در اطراف شناور است. با افزایش سرعت و در نتیجه افزایش عدد رینولدز ($R_e > 10^5$) جریانات اطراف شناور از حالت آرام (laminar) به حالت آشفته (turbulent) تغییر کرده، در نتیجه برایند نیروهایی که خلاف جهت

جدول ۲ درصد کاهش ضریب مقاومت اصطکاکی با انتخاب پوشش‌های سیلیکونی نسبت به پوشش‌های خود صیقل شونده در اعداد رینولدز مختلف.

عدد رینولدز	سرعت * (knot)	پوشش ۱				پوشش ۲				پوشش ۳	
		C _f	کاهش ضریب اصطکاک (%)								
2×10^5	$6/5$	۲۲	۲۱	۲۱	۲۱	۲۲	۲۲	۲۱	۲۱	۲۱	۲۲
4×10^5	$10/4$	۱۷	۱۷	۱۷	۱۷	۱۷	۱۷	۱۷	۱۷	۱۷	۱۷
6×10^5	$17/2$	۱۳	۱۵	۱۵	۱۵	۱۳	۱۳	۱۳	۱۳	۱۳	۱۳
8×10^5	$24/7$	۹	۱۲	۱۲	۱۲	۹	۹	۹	۹	۹	۹

* یا گره دریایی معادل $1/852 \text{ km/h}$ است.

به علت انرژی سطحی کم پوشش‌های سیلیکونی تمايل جذب و چسبیدن خزه‌های دریایی به سطح این نوع پوشش کمتر می‌شود، به علاوه ضخامت لایه مرزی سیال که همزمان با شناور در محیط دریا حرکت می‌کند نازکتر می‌شود، که این مسئله به افزایش قدرت مانور شناور کمک می‌کند.

پوشش‌های خود صیقل شونده اغلب دارای انرژی سطحی نسبتاً بیشتری هستند، بنابراین انتظار می‌رود که مقدار رسوب خزه روی سطح در این نوع پوششها نسبت به پوشش‌های سیلیکونی بیشتر باشد، اما از آنجا که این نوع پوشش در تماس با آب دریا قابلیت رهاسازی ترکیبات زیست کش را دارد. همچنین، بتدریج در آب دریا حل می‌شود، در نتیجه رسوب خزه‌های دریایی روی سطح شناور به حداقل می‌رسد.

به علت بیشتر بودن انرژی سطحی نسبتاً زیاد پوشش‌های خود صیقل شونده انتظار می‌رود که ضخامت لایه مرزی سیال (آب دریا) هنگام حرکت شناور بیش از پوشش‌های سیلیکونی باشد. بنابراین، نیروی مقاومی که در جهت مخالف حرکت شناور ایجاد می‌شود، بیش از نیروی مقاوم ایجاد شده در پوشش‌های سیلیکونی است.

در محدوده انرژی سطحی $20\text{-}30 \text{ mN/m}$ (بهترین نتیجه $23\text{-}25 \text{ mN/m}$) چسبیدگی خزه‌ها و موجودات دریایی روی سطح شناور حداقل است [۱]. بنابراین، پوشش‌های سیلیکونی تهیه شده با انرژی سطحی بحرانی در محدوده $23/7\text{-}26/6 \text{ mN/m}$ و حداقل چسبیدگی خزه‌ها، در محدوده قابل قبول قرار دارند.

اساس کارایی پوشش‌های نجسب، داشتن حداقل انرژی سطحی لازم برای ختی کردن یا مانع از چسبیدن موجودات دریایی به سطح است. پوشش‌های نجسب به دلیل دارا بودن سطحی با انرژی کم، چسبیدن موجودات را با مشکل مواجه می‌کنند. اگر شناور برای مدتی طولانی ساکن باشد، نشست موجودات روی بدنه شناور رخ می‌دهد. اما، اتصال بین آنها و سطح پوشش ضعیف بوده و در سرعتی بیشتر از سرعت آستانه بحرانی، نیروهای هیدرودینامیک که در خلاف جهت حرکت کشته بر بدنه آن اعمال می‌شوند، هر نوع موجودی که بر سطح چسبیده باشد، جدا می‌کنند.

جدول ۳ کشش سطحی مایعات برای اندازه گیری زاویه تماس است.

مایعات	γ^D	γ^P	(mN/m) γ
آب	۲۶	۴۶/۸	۷۲/۸
فرامید	۲۸/۷	۲۹/۵	۵۸/۲
متان دی یدید	۴۸/۵	۲/۳	۵۰/۸
بنزیل الکل	۳۰/۳	۸/۷	۳۹
گلیسرین	۳۷	۲۶/۴	۶۳/۴

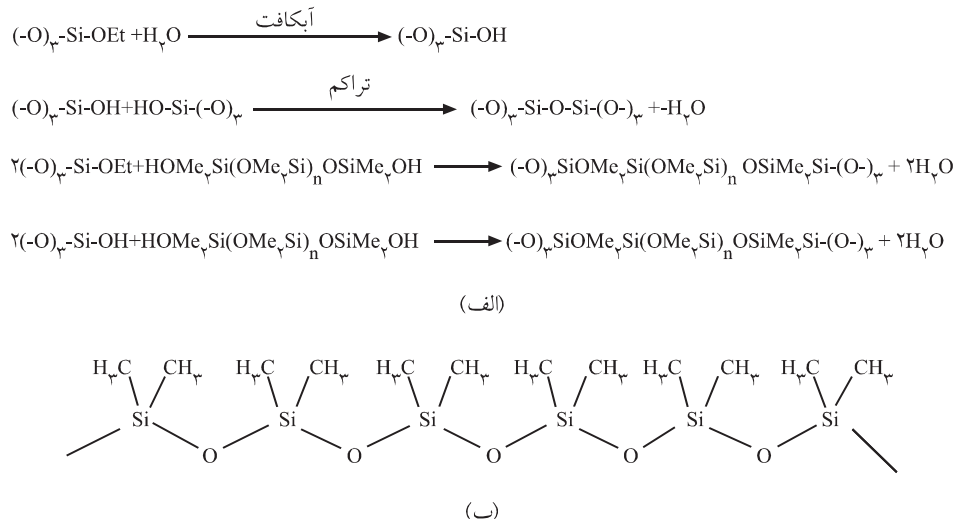
برای پوشش‌های مختلف آورده شده است. از آنجا که γ مقداری برونوایی شده است، ممکن است برای سطح یکسان بسته به مایعات مورد آزمون تغییر کند. بنابراین، برای به حداقل رساندن اختلافات بین مقادیر γ بدست آمده، آونز و همکاران انرژی سطحی را به عنوان ترکیبی از دو عامل جزء قطبی (γ^P) و جزء پراکنده (γ^D) در نظر گرفتند:

$$\gamma = \gamma^D + \gamma^P \quad (12)$$

در جدول ۴ نتیجه محاسبات تعیین انرژی سطحی نمونه پوشش‌های مختلف به روشهای زیسمن و آونز آورده شده است. نتایج نشان می‌دهد پوشش‌های سیلیکونی که انرژی سطحی کمتری دارند، در نتیجه قابلیت چسبیدن خزه‌های دریایی به سطح آنها کمتر خواهد بود. در پوشش‌های خود صیقل شونده آکریلی به علت وجود گروههای عاملی کربوکسیلی در ترکیب رزین، انرژی سطحی پوشش بیش از انرژی سطحی پوشش‌های سیلیکونی است. افزایش انرژی سطحی موجب بهبود خاصیت ترشوندگی سطح می‌شود، این امر به معنای افزایش تماس فیزیکی بین پوشش و لایه‌های سطحی آب دریا و در نتیجه جذب بیشتر خزه‌های دریایی است. بنابراین، اگر پوشش‌های مختلف خود صیقل شونده با پوشش‌های مختلف الاستومر سیلیکونی از نظر انرژی سطحی مقایسه شود، نتایج زیر به طور خلاصه بدست می‌آید:

جدول ۴ انرژی سطحی (mN/m) نمونه پوشش‌های ضد خزه به روش آونز و زیسمن.

روش زیسمن	روش آونز			کد پوشش
	$\gamma_s^P \text{ (mN/m)}$	$\gamma_s^D \text{ (mN/m)}$	$\gamma_s \text{ (mN/m)}$	
۳۳/۸	۶/۸	۲۸/۳	۳۵/۱	۱
۳۲/۷	۸/۵	۲۷/۶	۳۶/۱	۲
۳۲/۴	۵/۵	۲۸/۲	۳۳/۷	۳
۲۴/۷	۰/۲	۶۵/۲	۲۶/۴	۵



طرح ۱ (الف) ساز و کار پخت تراکمی پوشش استومر سیلیکونی و (ب) تصویر نمایی PDMS در سطح مشترک هوا با زیرایندی با انرژی سطحی زیاد.

- حرکت شناور با مشکل مواجه می‌کند.
- آنژ ویژگی‌های بنیادی PDMS را به شرح زیر بیان کرده است:
 - ۱ - انرژی سطحی کم در هوا (23 mN/m) نتیجه مستقیمی از نیروهای مولکولی ضعیف در بین گروههای متیل است. گروههای فرعی متیل به شکل انباستگی فشرده متیل در سطح مشترک هوا - PDMS بدون اثربداری از زنجیر اصلی سیلوکسان با قطبیت قابل ملاحظه‌ای (درصد یونی 41%) عمل می‌کند.
 - ۲ - زنجیر اصلی سیلوکسان انعطاف‌پذیری ویژه‌ای دارد که ناشی از عواملی از قبیل طول پیوند $O-Si$, زوایای پیوندی مسطح سیلوکسان و ماهیت تاحدی یونی پیوندهاست. در میان پلیمرها، T_g با $27^\circ C$ - انعطاف‌پذیری زنجیر اصلی را داراست. در نتیجه به آسانی می‌تواند پیکربندی با کمترین انرژی سطحی را داشته باشد. فشردگی گروههای جانبی جانبه متیل در سطح مشترک PDMS - هوا به دلیل انعطاف‌پذیری آن ممکن می‌شود. البته این خاصیت موجب می‌شود مونومرهای PDMS پیکربندی متفاوتی در سطحی مشترک غیر از $PDMS - \text{هوای} 27^\circ C$ - هوا داشته باشند. در حالی که دوقطبی زنجیر اصلی اثر بسیار مهمی را در این برهمکنش دارد. این تغییر پیکربندی باید از کاهش کلی در انرژی سطحی پوشش ناشی شده باشد.
 - ۳ - انرژی پیوندی زیاد پیوند سیلوکسان (445 kg mol^{-1}) که بسیار بزرگتر از انرژی پیوند کربن - کربن یا اکسیژن - کربن است، موجب پایداری PDMS در مقابل اکسایش و گرمایش می‌شود.
 - ۴ - ماهیت تاحدی یونی (41% درصد یونی) پیوند سیلوکسان نتیجه‌ای از اختلاف الکترون‌خواهی زیاد اتمهای سیلیکون و اکسیژن است. بنابراین، انعطاف‌پذیری مولکول منجر به پیکربندیهایی می‌شود که از

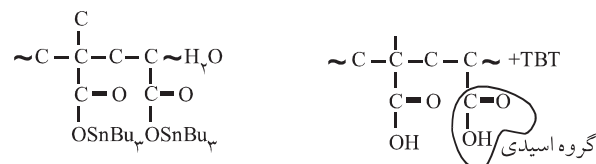
PDMS پلیمری غیرقطبی با زنجیر اصلی بسیار انعطاف‌پذیر است (T_g کم) که همین امر این امکان را بوجود می‌آورد که آرایش فضایی زنجیر پلیمر طوری تغییر کند که از کمترین انرژی سطحی برخوردار شود. سیلوکسان جزء غیرمعدنی پلیمر است، که انرژی سطحی زیاد و نیروهای بین مولکولی قوی دارد. گروههای متیل، هیدروکربنهای آلی هستند که انرژی سطحی کم و نیروهای بین مولکولی ضعیف دارند و آبگریزند. فشردگی گروههای متیل در سطح مشترک PDMS - هوا در مقایسه با هیدروکربنهای غیرقطبی معادل، باعث کشش سطحی کمتر ترکیبات سیلیکونی می‌شود. در طرح ۱ (الف) واکنشهای پخت تراکمی و طرح ۱ (ب) تصویر نمایی PDMS در سطح مشترک هوا با زیرایندی با انرژی سطحی زیاد نشان داده شده است.

مقدار انرژی آزاد سطح نمایانگر قابلیت سطح در برخورد متقابل با سایر مواد است. انرژی آزاد سطحی PDMS در هوا برابر 23 mN/m است که بطور مستقیم به کم بودن نیروهای درون مولکولی بین گروههای متیل مربوط می‌شود.

علاوه بر انرژی سطحی، مدول کشسان و ضخامت، صافی سطح نیز عامل بسیار مهمی در مؤثر بودن پوشش خزه رهاساز محسوب می‌شود. مساحت سطح موجود برای چسبیدن فیزیکی و اتصال موجودات، با کاهش صافی سطح (یا افزایش زبری) افزایش می‌یابد. هرچه عمق زبری بیشتر باشد (زبری عمیق تر باشد)، مساحت سطح برای چسبندگی موجودات دریایی بیشتر می‌شود، چسبنده‌های دریایی بیشتر به آنها نفوذ می‌کنند. در نتیجه زمینه برای آلدگی مستعدتر می‌شود. در ضمن، موجودات از لحاظ قرار گرفتن در معرض برش و سایش در خطر کمتری خواهند بود. بنابراین، زبری سطح جداسازی آلدگی را حین

مس اکسید و ترکیبات آلی - فلزی نظیر تری بوتیل قلع اکسید (TBTO)، تری بوتیل قلع فلوئورید (TBTF) یا تری فنیل قلع فلوئورید (TPTF) در لایه‌ای از آب در مجاورت سطوح مغروق کشته، موجب از بین رفتن ریز موجودات و موجودات زنده دریایی چسبیده به سطح شده، بدین ترتیب در مقابله با پدیده آلودگی علاوه بر اینکه از افزایش مقاومت اصطکاکی بین بدن کشته و آب دریا جلوگیری می‌کند، در گونه‌هایی که مواد زیست کش همراه با زنجیر پلیمری وارد لایه مرزی می‌شود، اغتشاشات لایه مرزی را کنترل کرده، باعث کاهش مقاومت اصطکاکی می‌شود.

مواد زیست کش از راه اتصال شیمیایی به پیونده متصل شده‌اند. آب دریا به آرامی به اتصال شیمیایی بین ماده سمی و پیونده حمله کرده، باعث آزاد شدن مواد زیست کش و انحلال پوشش می‌شود. این نوع پوششها بر پایه پلیمرهای آلی - فلزی هستند که در ترکیب آلی - فلزی آن

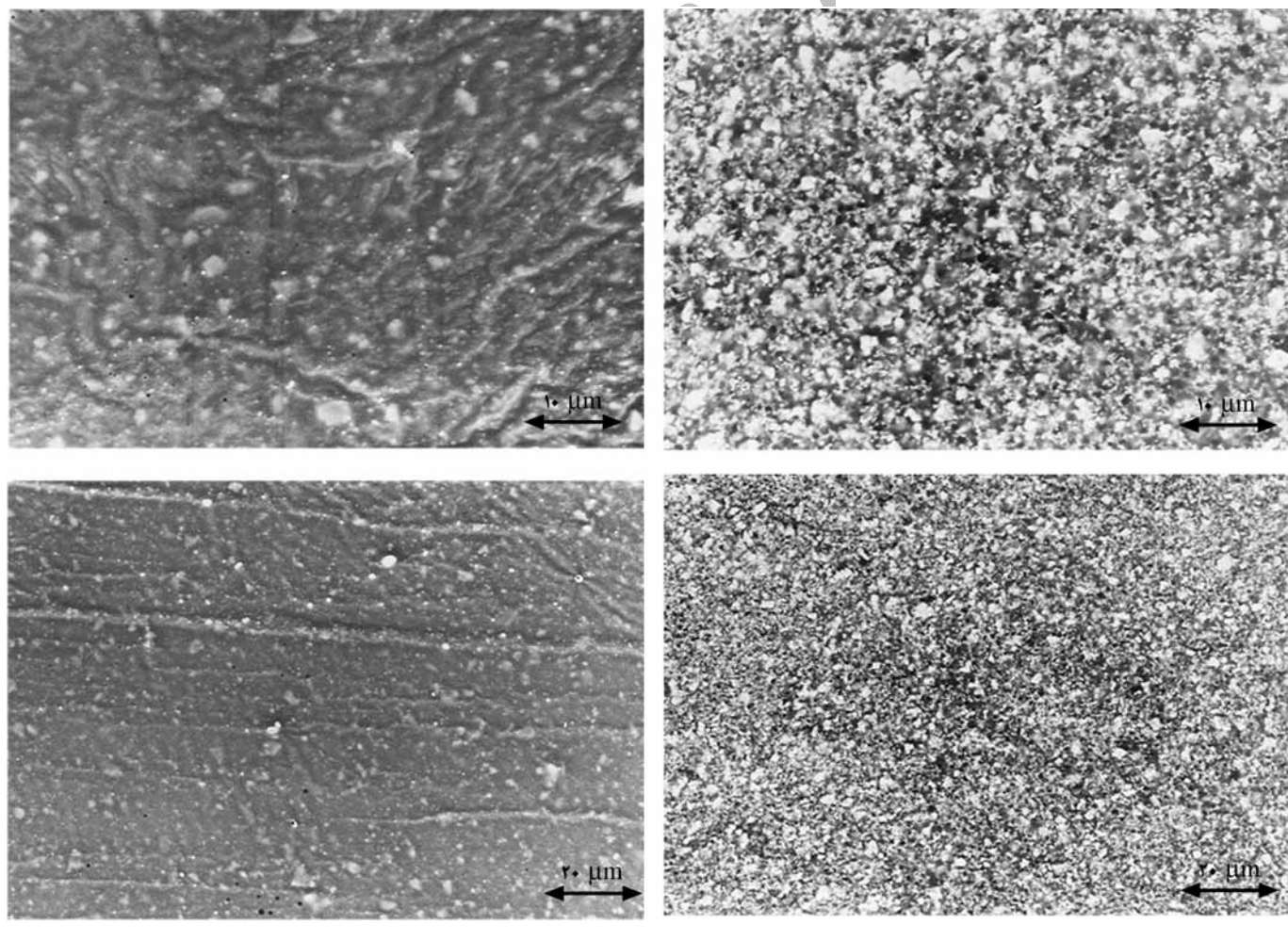


مقدار سایش × غلظت مواد سمی موجود در رنگ = مقدار تراویش مواد ضد خزه طرح ۲ واکنش تری بوتیل قلع آکریلات در آب دریا در پوشش‌های خود صیقل شونده.

بر همکنش دوقطبی زنجیر اصلی با زیرایند قطبی ایجاد شود.

پوشش‌های خود صیقل شونده

پوشش‌های حاوی مواد زیست کش (که با عنوان رنگهای ضد خزه نیز شناخته می‌شوند)، با آزادسازی مواد سمی یا زیست کشها مانند



شکل ۶ تصاویر SEM: (الف) پوشش خود صیقل شونده و (ب) پوشش سیلیکونی.

نشان می‌دهند. نتایج این پژوهش نشان می‌دهد که استفاده از دستگاه استوانه چرخان، روش مؤثری در بررسی و اندازه‌گیری پوششهای مختلف است. با بکارگیری دستگاه استوانه چرخان، کاهش نیروی مقاومت اصطکاکی ناشی از جایگزینی پوششهای الاستومر سیلیکونی به جای پوششهای خود صیقل شونده حدود ۱۰ تا ۲۲ درصد کاهش می‌یابد. همچنین، در سرعت‌های بیشتر مقدار کاهش مقاومت اصطکاکی کمتر می‌شود، زیرا با افزایش سرعت، جریان آرام لایه مرزی اطراف استوانه به سمت جریان آشفته تغییر می‌کند و در نهایت سهم مقاومت اصطکاکی در مقاومت کل شناور کمتر می‌شود.

همچنین، نتایج انرژی سطحی نیز نشان می‌دهد که پوششهای سیلیکونی انرژی سطحی کمتری نسبت به نمونه‌های خود صیقل شونده داشته، در نتیجه قابلیت چسبیدن خزه‌های دریایی به سطح آنها کمتر است، اگر هم خزه‌ها و سایر موجودات دریایی روی سطح بچسبد. به دلیل ضعیف بودن نیروی چسبندگی در اثر حرکت شناور در آب از روی سطح جدا خواهد شد.

در محدوده انرژی سطحی $20\text{-}30 \text{ mN/m}$ (بهترین نتیجه $23\text{-}25 \text{ mN/m}$) چسبندگی خزه‌ها و موجودات دریایی روی سطح شناور حداقل است. بنابراین، همه پوششهای سیلیکونی تهیه شده با انرژی سطحی بحرانی در محدوده $23/7\text{-}26/6 \text{ mN/m}$ و حداقل چسبندگی خزه‌ها، در محدوده قابل قبول هستند.

پوشش الاستومر سیلیکونی فرمولبندی شده انرژی سطحی کمتر و زبری سطحی کمتر نسبت به سامانه‌های پوشش متداول خود صیقل شونده آکریلی دارند. بنابراین، با هدف کاهش مقاومت اصطکاکی این نوع پوشش می‌تواند جایگزین مناسبی برای پوششهای خود صیقل شونده باشد.

اکثر آکریلیک‌های تری بوتیل قلع آکریلات استفاده می‌شود. در آب دریا ترکیبات آلی - قلع به شکل بخش به بخش در قسمتهای مساوی آزاد می‌شوند و گروههای اسیدی به جا می‌گذارند (طرح ۲) و باعث ایجاد پلیمری می‌شود که در آب تا حدودی قلایایی دریا، احلال پذیر است. بنابراین، وضعیتی ایجاد می‌شود که با سایش تدریجی لایه پوشش ضدخرze، محافظت در برابر رشد آلدگی انجام می‌گیرد و صیقلی بودن سطوح زیرآبی نیز حفظ می‌شود.

بورسی مقدار زبری سطح با استفاده از SEM

تصاویر حاصل از بررسی میکروسکوپی الکترون پویشی (SEM) نمونه‌ها در شکل ۶ نشان داده شده است. این نتایج نشان می‌دهد که سطح پوششهای خود صیقل شونده تخلخل و زبری بیشتری نسبت به پوششهای سیلیکونی دارد. بنابراین، نتایج SEM هم تأییدی بر خصوصیات مناسب سطح پوشش الاستومر سیلیکونی برای کاهش مقاومت اصطکاکی نسبت به پوششهای خود صیقل شونده است.

نتیجه گیری

در این پژوهش، اثر سه نوع پوشش مختلف که در صنایع رنگ دریایی کاربرد دارند روی مقاومت اصطکاکی وارد بر بدن شناور بررسی شد. نتایج آزمون نشان می‌دهد که به غیر از پوششهای پرزدار، دو پوشش دیگر نتایج بهتری را در کاهش مقاومت اصطکاکی نشان می‌دهند. در مقایسه بین این دو پوشش نیز در منحنی انتقال روبه پایین توزیع سرعت، پوششهای سیلیکونی نتیجه بهتری را در کاهش مقاومت اصطکاکی

مراجع

- Candries M., *Drag, Boundary-layer and Roughness Characteristics of Marine Surfaces Coated with Antifoulings*, PhD Thesis, Department of Marine Technology, University of Newcastle-upon-Tyne, UK, 2001.
- Lackneby H., Resistance of Ships with Special Reference to Skin Friction and Hull Surface Condition, *34th Proceedings of the Institution of Mechanical Engineers*, **176**, 981-1014, 1962.
- Bertram V., Past, Present and Prospects of Antifouling, *32th WEGEMT School on Marine Coatings*, University of Plymouth, UK, 85-97, 2000.
- Candries M. and Atlar M., Experimental Investigation of the

- Turbulent Boundary Layer of Surfaces Coated with Marine Antifoulings, *J. Fluid. Eng., Trans. ASME*, **127**, 219-232, 2005.
- Candries M., Atlar M., Mesbahi E. and Pazouki K., The Measurement of the Drag Characteristics of Tin-free Self-polishing Co-polymers and Fouling Release Coatings Using a Rotor Apparatus, *Biofouling*, **19**, 27-36, 2003.
- Graham D.P., Use of Plastic Ship Bottom Paints, *Trans. Soc. Nav. Archit. Marine Eng. (SNAME)*, **55**, 202-243, 1947.
- Milne A., Roughness and Drag from the Marine Paint Chemist's Viewpoint, *Marine Roughness and Drag Workshop*, London, UK, Paper 12, 1990.

8. Anderson C.D., Self-polishing Antifoulings: A Scientific Perspective, *Proceedings of Ship Repair and Conversion 93*, BML Business Meetings, 1993.
9. Froud W., Experiments for the Frictional Resistance of Water on the Surface Under Various Condition, British Association for the Advancement of Science, Report 1874, 1985.
10. Townsin R.L. and Dey S.K., The Measurement of Roughness Drag of Painted Surfaces Using a Rotor Apparatus, *Int. J. Shipbuilding Prog.*, **40**, 227-245, 1993.
11. Medhurst J.S., *The Systematic Measurement and Correlation of the Frictional Resistance and Topography of Ship Hull Coatings, with Particular Reference to Ablative Antifoulings*, PhD Thesis, Department of Marine Technology, University of Newcastle-upon-Tyne, UK, 1989.
12. Medhurst J.S. and Townsin R.L., Indirect Measurement of the Velocity Loss Function Using a Rotor, *Marine Roughness and Drag Workshop*, London, UK, Paper 1, 1990.
13. Choi K.-S., Yang X., Clayton B.R., Glover E.J., Atlar M., Semenov B.N. and Kulik V.M., Turbulent Drag Reduction Using Compliant Surfaces, *Proceedings of the Royal Society of London*, **453**, 2229-2240, 1997.
14. Hama F.R., Boundary Layer Characteristics for Smooth and Rough Surface, *Trans. Soc. Nav. Archit. Marine Eng. (SNAME)*, **62**, 333-358, 1954.

Archive of SLY